

**ՀՀ ԳԱԱ «ՀԱՅԿԵՆՍԱՏԵԽՆՈԼՈԳԻԱ» ԳԱԿ ՊՈԱԿ**

**Միմոնյան Հայարփի Մանթաշի**

**Նոր հետերոցիկլիկ տեղակալված ոչ սպիտակուցային  
α-ամինաթթուների կենսամիմնութիւն ասիմետրիկ սինթեզ**

**Բ.00.10 - «Կենսօրգանական քիմիա» մասնագիտությամբ  
քիմիական գիտությունների թեկնածուի գիտական  
աստիճանի հայցման ատենախոսության**

**ՍԵՂՄԱԳԻՐ**

**Երևան – 2013**

---

**НПЦ «АРМБИОТЕХНОЛОГИЯ» НАН РА ГНКО**

**Симонян Айарпи Манташовна**

**Биомиметический асимметрический синтез новых гетероциклически  
замещенных небелковых α-аминокислот**

**АВТОРЕФЕРАТ**

**диссертации на соискание ученой степени  
кандидата химических наук по специальности  
02.00.10 – «Биоорганическая химия»**

**Երևան – 2013**

Աստենախոսության թեման հաստատվել է ԵՊՀ քիմիայի ֆակուլտետի գիտական խորհրդում:

Գիտական դեկանավար՝

ՀՀ ԳԱԱ ակադեմիկոս, պրոֆեսոր  
Ա. Ս. Սաղյան

Պաշտոնական ընդդիմախոսներ՝

ՀՀ ԳԱԱ թրակից անդամ, պրոֆեսոր  
Գ. Հ. Դանազովյան  
քիմիական գիտությունների թեկնածու  
Ա.Ա. Դարայան

Առաջատար կազմակերպություն՝

Հայաստանի ազգային ագրարային  
համալսարան

Պաշտպանությունը կայանալու է 2013թ. հոկտեմբերի 25-ին, ժամը 14<sup>00</sup> – ին ՀՀ ԳԱԱ «Հայկենսատեխնոլոգիա» ԳԱԿ-ում գործող ՀՀ ԲՈՀ-ի Կենսատեխնոլոգիայի 018 մասնագիտական խորհրդի նիստում:

Հասցե՝ 0056, ՀՀ, ք. Երևան, Գյուրջյան փողոց, 14, հեռ/ֆաքս (374 10) 65 41 83:  
Աստենախոսությանը կարելի է ծանոթանալ ՀՀ ԳԱԱ «Հայկենսատեխնոլոգիա» ԳԱԿ-ի գրադարանում:

Սեղմագիրն առաքված է 2013թ. սեպտեմբերի 25-ին:

Մասնագիտական խորհրդի գիտական քարտուղար,  
կենսարանական գիտությունների թեկնածու

Գ.Ե. Ավետիսովա

Тема диссертации утверждена на заседании ученого совета химического факультета ЕГУ.

Научный руководитель:

академик НАН РА, профессор  
А.С. Сагиян

Официальные оппоненты:

член-корреспондент НАН РА, профессор  
Г.Г. Данагулян  
кандидат химических наук  
С.А. Дадаян

Ведущая организация: Национальный аграрный университет Армении  
Защита диссертации состоится «25» октября 2013г. в 14<sup>00</sup> часов на заседании специализированного совета 018 Биотехнологии ВАК РА при НПЦ «Армбиотехнология» НАН РА.

Адрес: 0056, РА, г. Ереван, ул. Гюргян, 14, тел/факс (374 10) 65 41 83.  
С диссертацией можно ознакомиться в библиотеке НПЦ «Армбиотехнология» НАН РА.

Автореферат разослан «25» сентября 2013 г.

Ученый секретарь специализированного совета,  
кандидат биологических наук

Г.Е. Аветисова

## ԱՇԽԱՏԱՆՔԻ ԸՆԴՀԱՆՈՒՐ ԲՆՈՒԹՅԱԳԻՐԸ

**Խնդիրի արդիականությունը:** Կենսամիմետիկ ասիմետրիկ սինթեզը համարվում է բնական մետարոխտների քրիալային նմանակների սինթեզի արդյունավետ մոտեցումներից մեկը: Այդպիսի միացությունների շարքին են դասվում նաև ոչ սպիտակուցային ամինաքրուները, որոնք որպես ֆերմենտների ոչ դարձելի ինիդրիտորներ առանձնահատուկ հետաքրքրություն են առաջացրել դեղագործության, բժշկագիտության, մանրէաբանության և գիտության ու տեխնիկայի այլ բնագավառներում: Բացահայտված է, որ պեպտիդային բնույթի դեղապատրաստուկի բաղադրության մեջ սպիտակուցային ամինաքրվի փոխարինումը նրա ոչ սպիտակուցային նմանակով բերում է դեղի ազդեցության խստ պրոլոնգացմանը, և հետևաբար՝ արդյունավետության մեծացմանը: Այսօր հայտնի են բազմաթիվ հակարացկեղային, հակավիրուսային, հակահիպերտենզիվային և այլ դեղապատրաստուկներ, որոնց ակտիվ ազլիկոնը համարվում է ոչ սպիտակուցային ամինաքրուների ներդրումը կնսաբանական և կենսաքիմիական հետազոտություններում բերել է նոր շարքի կենսապատրաստուկների հայտնաբերմանը:

Սուպել հետաքրքրություն են առաջացրել կողքային ռադիկալում տարբեր կառուցվածքի հետերոցիկիկ տեղակալիներ պարունակող ոչ սպիտակուցային ամինաքրուները, որոնք օտարածին են օրգանիզմի համար ինչպես կառուցվածքով, այնպես էլ հետերոաստոմների բնույթով:

Անիրամեշտ է նշել, որ գրեթե բոլոր բնագավառներում ամինաքրուները պիտանի են կիրառության համար միայն օպտիկական մաքոր ստերեոիզոմերների տեսքով: Հայտնի են բազմաթիվ դեպքեր, երբ դեղաբանորեն ակտիվ քրիալային պատրաստուկի օպտիկական անտիպոդը ցուցաբերում է բացասական դեղաբանական ազդեցություն: Հետևաբար, նման կարգի միացությունների արտադրության համար անիրամեշտ է մշակել այնպիսի մերոդեր, որոնք կապահովեն վերջնական արգասիքների բարձր օպտիկական մաքրությունը: Եթե սպիտակուցային ամինաքրուների արտադրության համար աշխարհում օգտագործվում է մանրէաբանական կամ ֆերմենտային սինթեզի մերոդերը, ապա ոչ սպիտակուցային ամինաքրուների ստացման համար՝ վերջիններիս ոչ սպիտակուցային կառուցվածքի պատճառով, զարգացվում է ասիմետրիկ սինթեզի ուղղությունը:

Հետևաբար, ոչ սպիտակուցային α-ամիանքրուների՝ ներառյալ կողքային ռադիկալում տարբեր բնույթի հետերոցիկեր պարունակող էնանտիոմերապես հարստացված ալանինի, ցիստենին և ամինակարագարքվի նմանակների ասիմետրիկ սինթեզի արդյունավետ մեթոդների մշակումը կարևոր և հրատաս խնդիր է:

**Հետազոտության նպատակն ու խնդիրները:** Օգտագործելով նախակինում մշակված դեկիդրոամինաքրուների (դեկիդրոալանինի և դեկիդրոամինակարագարքվի) և պրոլինի հենքի վրա կառուցված քրիալային օժանդակ ռեագենտների Ծիֆի հիմքերի  $Ni^{II}$  կոմպլեքսները՝ որպես պիրիդոքսալֆուֆատ-կախյալ ֆերմենտների մոդելային համակարգեր և դրանց ամինաքրվային մնացորդի  $C=C$  կապին Սիբայելի նուկլեոֆիլ միացման ռեակցիաները, ատենախտսական աշխատանքում նպատակ է դրվել մշակել գրականության մեջ չնկարագրված մի շարք նոր օպտիկական ակտիվ հետերոցիկի տեղակալված (*S*)- և (*R*)-α-ամինաքրուների կենսամիմետրիկ ասիմետրիկ սինթեզի մեթոդներ:

Նպատակին հասնելու համար նախատեսվում էր լուծել հետևյալ հիմնական խնդիրները.

1. սինթեզել հետ դեհիդրոամինաթրուների (դեհիդրօլանինի և դեհիդրօամինակարագաթրվի) և (S)- ու (R)-2-N-(N'-բենզիլպրոյլի)ամինաթենզաֆենոն քիրալային օժանդակ ռեագենտի և նրա մոդիֆիկացված նմանակի՝ (S)- ու (R)-2-N-(N'-2-քլորքենզիլպրոյլ)ամինաթենզաֆենոնի Ծփի հիմքերի հետ Ni<sup>II</sup> իոնի առաջարկած հարք-քառակուսային կոմպլեքսները,
2. հետազոտել դեհիդրօալանինի քիրալային կոմպլեքսներին 3 և 4 դիրքերում այլիքատիկ և արոմատիկ տեղակալված 1,2,4-տրիազոլների նուկլեոֆիլ միացման ռեակցիաները, մշակել համապատասխան հետերոցիկլիկ տեղակալված (R)- և (S)-ամինաթրուների ասիմետրիկ կենսամիմետիկ սինթեզի մեթոդներ,
3. հետազոտել դեհիդրօալանինի քիրալային կոմպլեքսներին լրացուցիչ ֆուրանային, բիոֆենային կամ այլ հետերոցիկլիկ օդակներով համակցված 1,2,4-տրիազոլների նուկլեոֆիլ միացման ռեակցիաները, մշակել կոռքային ռադիկալում երկու համակցված հետերոցիկլիկ օդակներով (R)- և (S)-ամինաթրուների կենսամիմետիկ ասիմետրիկ սինթեզի մեթոդներ,
4. հետազոտել դեհիդրօալանինի քիրալային կոմպլեքսներին մորֆոլինային և պիրիդինային օդակներով համակցված նուկլեոֆիլների միացման ասիմետրիկ ռեակցիաները, մշակել համապատասխան հետերոցիկլիկ տեղակալված (R)- և (S)-ամինաթրուների, ասիմետրիկ կենսամիմետիկ սինթեզի մեթոդներ,
5. հետազոտել դեհիդրօալանինի քիրալային կոմպլեքսներին պիրիդինային նուկլեոֆիլ միացման ասիմետրիկ ռեակցիաները, մշակել կոռքային ռադիկալում պիրիմիդինային տեղակալիչ պարունակող (S)- և (R)-ամինաթրուների ասիմետրիկ կենսամիմետիկ սինթեզի մեթոդներ,
6. հետազոտել դեհիդրօամինակարագաթրվի քիրալային կոմպլեքսներին բիոֆենային օդակի հետ համակցված տրիազոլային շարքի նուկլեոֆիլների ասիմետրիկ միացման ռեակցիաները, մշակել թուրքում բիոֆենային տեղակալիչ պարունակող (2R,3R)- և (2S,3S)-*allo*-α-ամինակարագաթրվի բարձրասեղմական ասիմետրիկ ասիմետրիկ կենսամիմետիկ սինթեզի մեթոդներ,

**Աշխատանքի գիտական նորույթ:** Օգուագործելով թուրքակալված ա-ամինաթրուների ասիմետրիկ կենսամիմետիկ սինթեզի համար նախկինում մշակված մերոդիոգիան, մշակվել են նոր հետերոցիկլիկ տեղակալված օպտիկալակետ ակտիվ ոչ սպիտակուցային (S)- և (R)-ա-ամինաթրուների կոռքային ռադիկալում տրիազոլային, ֆուրանային, բիոֆենային, մորֆոլինային, պիրիդինային, պիրիմիդինային օդակներ պարունակող ալանինի, ցիտոսինի և ամինակարագաթրվի նմանակեների կենսամիմետիկ ասիմետրիկ սինթեզի արդյունակետ մեթոդներ (de 80-96%): Սինթեզել են գրականության մեջ շնկարագրված 44 էնանտիոներակետ մաքոր (ee > 99%) հետերոցիկլիկ տեղակալված (S)- և (R)-ա-ամինաթրուներ:

**Աշխատանքի կիրառական նշանակություն:** Մշակված կենսամիմետիկ ասիմետրիկ սինթեզի մեթոդները հնարավորություն են տալիս միևնույն ելային դեհիդրօամինաթրվային սինթոնի կիրառմամբ բարձր էնանտիոներային մաքրությամբ ստանալ լայն սպեկտրի օպտիկալակետ ակտիվ հետերոցիկլիկ տեղակալված α-ամինաթրուներ: Ելային քիրալային օժանդակ ռեազենտները յուրաքանչյուր սինթեզից հետո վերակազմնվում են ելային օպտիկական ակտիվության ամբողջական պահպանմամբ, ինչը հնարավորություն է տալիս

Արանց բազմակի անգամ օգտագործել ամինաքրուների ասիմետրիկ սինթեզի ռեակցիաներում:

Սույն աշխատանքում սինթեզվել են 44 նոր օպտիկապես ակտիվ հետերոցիկլիկ տեղակալված ոչ սպիտակուցային (*S*)- և (*R*)-ա-ամինաքրուներ (ալանինի, ցիստենի, ամինակարագարքի ածանցյալներ), որոնք ապագայում կարող են կիրառություն գտնել ֆիզիոդիֆապես ակտիվ պեպտիդների և այլ դեղապատրաստուկների արտադրություններում:

Մոտ ապագայում մշակված մեթոդները կներդրվեն ՀՀ ԳԱԱ «Հայկենաստեխնոլոգիա» ԳԱԿ-ի փորձարարական կայանում ստեղծված օպտիկապես ակտիվ ոչ սպիտակուցային ամինաքրուների փորբաժակալ արտադրական գծում և սինթեզված նոր հետերոցիկլիկ տեղակալված ա-ամինաքրուները հաջորդությամբ կապրանքայնացվեն միջազգային շուկայում:

#### **Պաշտպանության ներկայացված դրույթները:**

- դեհիդրոպամինաքրվային նորիֆիկացված և չմոդիֆիկացված քիրալային կոմպլեքսներին տարբեր կառուցվածքի հետերոցիկլիկ ռեագենտների նույնականացման ռեակցիաների հետագործում:

- գրականության մեջ չնկարագրված նոր հետերոցիկլիկ տեղակալված օպտիկապես ակտիվ ոչ սպիտակուցային (*S*)- և (*R*)-ա-ամինաքրուների կորուային ռադիկալում տրիազոլային, ֆուրանային, թիոֆենային, մորֆոլինային, պիրիդինային, պիրիդինային օրակներ պարունակող ալանիների, ցիստենիների և ամինակարագարքի կենսամիմետիկ ասիմետրիկ սինթեզ:

**Աշխատանքի կազմ գիտական ծրագրերի և թեմաների հետ:** Աշխատանք իրականացվել է Միջազգային գիտատեխնիկական կենտրոնի (ՄԳՏԿ) **A-1677** (2008-11թ.), հայ-գերմանական VolkswagenStiftung ID Az 86 223 (2012-14թ.) դրամաշնորհների, ինչպես նաև ԵՊՀ քիմիայի ֆակուլտետի բազային և գիտահետազոտական ծրագրերի շրջանակներում:

**Հեղինակի անձնական ներդրում:** Հեղինակի անձնական ներդրումը ներառում է աշխատանքի հետ առնչվող գիտական գրականության վերլուծությունն ու ընդհանրացումը, հետազոտության հիմնական փորձարարական խնդիրների իրականացումն ու ամփոփումը, տպագրվող գիտական հոդվածների նախապատրաստումը և ատենախոսության կազմումը: Խնդրի դրվագն ու արդյունքների քննարկումն իրականացվել է գիտական դեկավար ՀՀ ԳԱԱ ակադեմիկոս, պրոֆեսոր Ա.Ս.Սալյանի ղեկավարությամբ:

**Աշխատանքի քննարկումը և տպագրությունները:** Ատենախոսության արդյունքները շարադրված են 5 գիտական հոդվածներում և 4 թեզիսում և ներկայացվել են ԵՊՀ դեղագործական քիմիայի ամբիոնի նիստերում և «State of the Art Biotechnology in Armenia & ISTC Contribution», Tsakhadzor, 2008, «Успехи синтеза и комплекскоординации», Москва, 2012, «Second International Conference of Young Chemists», Tbilisi, 2012, 6th International conference «Chemistry of Nitrogen Containing Heterocycles», Kharkiv, 2012 միջազգային գիտաժողովներում:

**Աշխատանքի իրականացման վայրը:** Աշխատանք իրականացվել է ԵՊՀ քիմիայի ֆակուլտետի դեղագործական քիմիայի ամբիոնում:

**Աշխատանքի ծավալը և կառուցվածքը:** Ատենախոսությունը կազմված է նախարանից և չորս գլուխներից (գրական ակնարկ, խնդրի դրվագը և հետազոտման օբյեկտի ընտրություն, արդյունքների քննարկում, փորձնական մաս), եղակացությունից և գրականության ցանկից: Աշխատանքը շարադրված է 141 էջի

վրա, բերված են 38 սխեմա, 9 նկար և 9 աղյուսակ: Գրականության ցանկն ընդգրկում է 144 գիտական տպագիր հոդվածներ:

**ԳՐԱԿԱՆ ԱԿՆԱՐԿ.** Նվիրված է գրականության ամփոփմանը և նկարագրված են ոչ սպիտակուցային ամինաթքուների կիրառման ոլորտները, օրգանիզմում պիրիդոքսալյային ֆերմենտների ազդեցությամբ ամինաթքուների մետարոլիկ փոխարկուները և նրանց մոդելավորումը: Առանձին բաժին նվիրված է ոչ սպիտակուցային ամինաթքուների ասիմետրիկ բիոմիմետիկ սինթեզի նկարագրությանը: Մանրամասն ներկայացված է ասիմետրիկ սինթեզի օրինաչափությունները, ամինաթքուների ստացման կատալիտիկ և ստեխիոմետրիկ ասիմետրիկ սինթեզի մերողները:

## ԽԵՆՔԻ ԴՐԱՎԱԾՔ ԵՎ ՀԵՏԱԶՈՒՏՄԱՆ ՕԲՅԵԿՏԻ ԸՆՏՐՈՒԹՅՈՒՆԸ.

Հետազոտության հիմնական առարկա են հանդիսացել պիրիդոքսալֆոսֆատ (ՊՖ) ֆերմենտների արդյունավետ մոդելային համակարգերի հետազոտումը (*S*- և (*R*)-բացարձակ կոնֆիգուրացիայով ամինաթքուների, ներառյալ կողքային ռադիկալում տարրեր բնույրի հետերոցիկլիկ տեղակալիչներ պարունակող էնանտիոներացվես հարստացված ալանինի, ցիստենին և ամինակարագարքվի նմանակների ասիմետրիկ սինթեզի ռեակցիաներում: Որպես ՊՖ-ֆերմենտների մոդելային համակարգեր ընտրվել են Ni<sup>II</sup> իոնի հարք-քառակուսային կոմպլեքսները՝ կազմված դեկիդրոամինաթքուների և (*S*- ու (*R*)-պրոլինի հենքի վրա կառուցված բիրալյային օժանդակ ռեագենտների Շիֆի հիմքերից:

## ԱՐԴՅՈՒՆՔՆԵՐԻ ՔՆՆԱՐԿՈՒՄ.

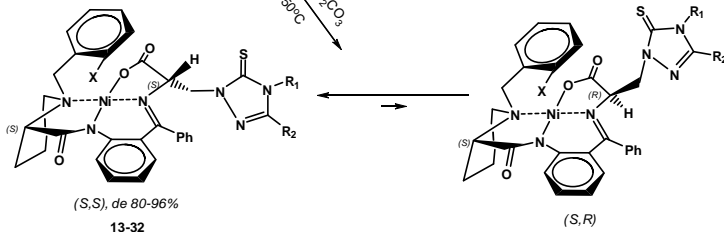
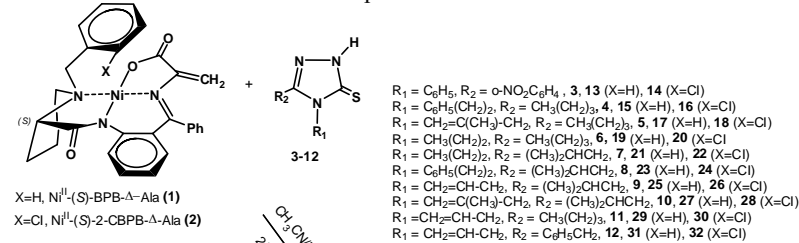
### 1. Կողքային ռադիկալում այիֆատիկ և արոմատիկ տեղակալիչներով 1,2,4-տրիազոլային օլոկ պարունակող α-ամինաթքուների կնճսամիմետիկ ասիմետրիկ սինթեզ:

Հետազոտվել է Ni<sup>II</sup> իոնի հետ դեկիդրոալանինի և (*S*)-BPB բիրալյային օժանդակ ռեագենտի և նրա մոդելֆիկացված (*S*)-2-CBPB նմանակի Շիֆի հիմքերի առաջացրած հարք-քառակուսային կոմպլեքսների (1,2) C=C կապին 3-րդ և 4-րդ դիրքերում տարրեր կառուցվածքի այիֆատիկ և արոմատիկ տեղակալիչներով 5-թիօրոտ-1,2,4-տրիազոլների (3-12) ասիմետրիկ միացման ռեակցիաները՝ հիմնային կատալիզի պայմաններում:

Նուկleinֆիլ միացման ռեակցիաները հետազոտվել են տարրեր միջավայրերում CH<sub>3</sub>CN/K<sub>2</sub>CO<sub>3</sub>, CH<sub>3</sub>CN/KOH, DMF/NaOH, THF/NaOH, ինչպես տաքացման, այնպես էլ սենյակային շերմաստիճանի պայմաններում: Ռեակցիաները առավել քանակական ելքերով և բարձր ստերեոսելեկտիվությամբ են ընթանում ացետոնի խորիլ միջավայրում K<sub>2</sub>CO<sub>3</sub>-ի առկայությամբ: Միացման ռեակցիաների ընթացքին հետևել ենք ՆՇԸ մերողով [SiO<sub>2</sub>, CHCl<sub>3</sub>:CH<sub>3</sub>COCH<sub>3</sub> (3:1) (Սխեմա 1):

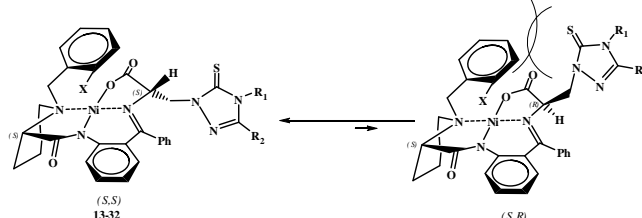
Դեկիդրոալանինի կոմպլեքսներին նուկleinֆիլների միացման արդյունքում առաջանում է հետերոցիկլիկ տեղակալված ամինաթքուների դիաստերեոներ կոմպլեքսների խառնուրդ (S,S)-դիաստերեոնների (13-32) բարձր ավելցուկով, որոնք մաքրվել են խառնուրդից բիրեղային քրոմատոգրաֆիայի մեթոլով [SiO<sub>2</sub>, 20x20 սմ, CHCl<sub>3</sub>:CH<sub>3</sub>COCH<sub>3</sub> (3:1)] և հետազոտվել ու հաստատվել են նրանց կառուցվածքն ու բացարձակ կոնֆիգուրացիան ժամանակակից ֆիզիկաքիմիական անալիզի մեթոդներով:

## Միսեմա 1



Նույկենֆիլ միացման ռեակցիաները համարվում են թերմոդինամիկորեն վերահսկվող ալյումիներ և միջանկյալ sp<sup>2</sup> հարք-կարբամիոնային կիճակով թերմոդինամիկորեն քիչ կայուն (S,R)-դիաստերեոիզոմերները աստիճանաբար տրամադրմացվում են ավելի կայուն (S,S)-դիաստերեոիզոմերների՝ շնորհիվ նրանց ազատ էներգիաների զգալի տարբերության: (Նկար 1):

(R)-պացարάսկ կոմմիդուրացիայով ամինաթրու պարունակող (S,R)-դիաստերեոներ կոմպլեքսների ցածր թերմոդինամիկական կայունությունը պայմանավորված է ծավալուն տրիազոլային օռակ պարունակող կոռպարային ռատիկալի տարածական դիբրոք: Այն ուղղված է դեպի N-թերմիկորդինային մնացորդի թերմիկային խումբ, ինչի արդյունքում այդ ծավալուն խմբերի միջև առկա վանոնդական չկապող փոխազդեցուրյան շնորհիվ մեծանում է համակարգի ազատ էներգիան, ինչը և բերում է այդ դիաստերեոիզոմերի անկայունացմանը: Իսկ (S,S)-դիաստերեոներ կոմպլեքսների մակրոկառուցածքում ամինաթրվային մնացորդի ծավալուն հետերոցիկլիկ տեղակալիքը բաշխված է N-թերմիկորդինի մնացորդի թերմիկային խմբի հակառակ կողմում, և նրանց միջև չկապող փոխազդեցուրյունը՝ հետևաբար նաև համակարգի ազատ էներգիան, նվազագույն է:



$$\Delta G > 4 \text{ կլայ/մմ}$$

**Նկար 1.** Միացման արգասիք կոմպլեքսների դիաստերեոիզոմերների միջև թերմոդինամիկական հավասարակշռությունը

Միացման ռեակցիաների ստերեոսեկլիտիվուրյունը (ee) գնահատվել է քիրալային ԲԱՀՀ (քարձ արդյունավետության հեղուկային քրոմատոգրաֆիա) անալիզի մեթոդով: Դա համար արգասիք կոմպլեքսների դիաստերեոներային խառնուրդը մինչև քրոմատոգրաֆացնելը) ենթարկվել է աղաքրվային քայլայման և, որոշվել է նպատակային ամինաքրվի էնանտիոմետրների հարաբերակցությունը քիրալային ԲԱՀՀ անալիզի մեթոդով: (Աղյուսակ 1):

### Աղյուսակ 1

Ներկայացնենք քիրալային կոմպլեքսներին (1,2) այիֆատիկ և արոմատիկ տեղակալված թիօրոտիփազոների (3-12) ասինտրիկ միացման արդյունքները՝  $CH_3CN/K_2CO_3$  միջավայրում,  $25^{\circ}C$  կամ  $50^{\circ}C$  պարմանմերում:

N	Ելային կոմպլեքս	Նուկլեօֆիլ ագենտ	Արգասիք կոմպլեքս	Ժամանակ (րոպե)	$(S,S)/(S,R)$ (%) <sup>a</sup>	Երա (%) <sup>**</sup>
1.	Ni <sup>II</sup> -(S)-BPB-Δ-Ala (1)	3	13	300	95,06/4,94	60
2.	Ni <sup>II</sup> -(S)-2-CBPB-Δ-Ala (2)	-/-	14	420	98,02/1,98	64
3.	Ni <sup>II</sup> -(S)-BPB-Δ-Ala (1)	4	15	120	93,76/6,24	67
4.	Ni <sup>II</sup> -(S)-2-CBPB-Δ-Ala (2)	-/-	16	150	94,64/5,36	65
5.	Ni <sup>II</sup> -(S)-BPB-Δ-Ala (1)	5	17	60	96,03/3,97	60
6.	Ni <sup>II</sup> -(S)-2-CBPB-Δ-Ala (2)	-/-	18	110	98,11/1,89	62
7.	Ni <sup>II</sup> -(S)-BPB-Δ-Ala (1)	6	19	180	96,01/3,99	72
8.	Ni <sup>II</sup> -(S)-2-CBPB-Δ-Ala (2)	-/-	20	280	98,06/1,94	70
9.	Ni <sup>II</sup> -(S)-BPB-Δ-Ala (1)	7	21	120	93,91/6,09	65
10.	Ni <sup>II</sup> -(S)-2-CBPB-Δ-Ala (2)	-/-	22	150	95,50/4,50	71
11.	Ni <sup>II</sup> -(S)-BPB-Δ-Ala (1)	8	23	240	92,02/7,98	78
12.	Ni <sup>II</sup> -(S)-2-CBPB-Δ-Ala (2)	-/-	24	320	95,25/4,75	71
13.	Ni <sup>II</sup> -(S)-BPB-Δ-Ala (1)	9	25	120	89,95/10,05	68
14.	Ni <sup>II</sup> -(S)-2-CBPB-Δ-Ala (2)	-/-	26	150	90,05/9,95	70
15.	Ni <sup>II</sup> -(S)-BPB-Δ-Ala (1)	10	2	150	94,15/5,85	66
16.	Ni <sup>II</sup> -(S)-2-CBPB-Δ-Ala (2)	-/-	28	180	96,81/3,19	75
17.	Ni <sup>II</sup> -(S)-BPB-Δ-Ala (1)	11	29	150	89,99/10,01	71
18.	Ni <sup>II</sup> -(S)-2-CBPB-Δ-Ala (2)	-/-	30	200	91,15/8,85	73
19.	Ni <sup>II</sup> -(S)-BPB-Δ-Ala (1)	12	31	90	96,03/3,97	68
20.	Ni <sup>II</sup> -(S)-2-CBPB-Δ-Ala (2)	-/-	32	180	98,08/1,92	70

\* - աղաքամիք կոմպլեքսների դիաստերեոների հարաբերությունը բառ քիազային ԲԱՀՀ անալիզի տվյալների,

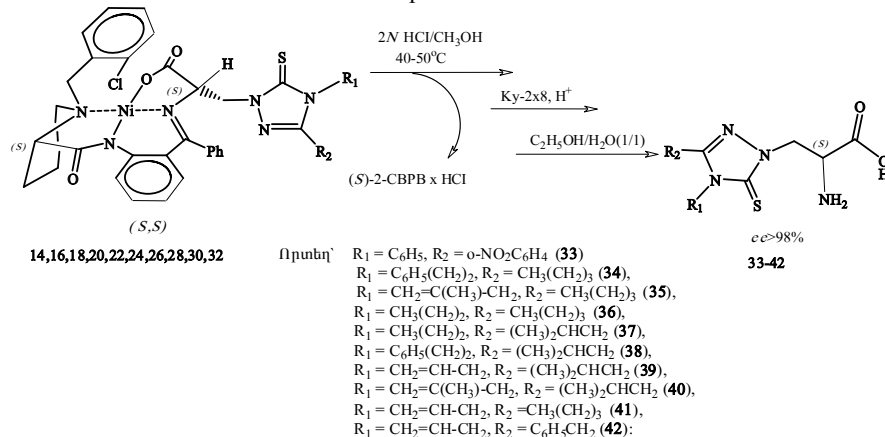
\*\*- քիազաման եղբ միացման փուլում (դիաստերեոների կոմպլեքսների խառնուրդի համար)

Խնայես հետևում է այյուսակ 1-ում բերված տվյալներից, դեկտրուալանինի շմորիֆիկացված 1 կոմպլեքսի համեմատ, մորիֆիկացված 2 կոմպլեքսին հետերոցիկլիկ նուկլեօֆիլների ասիմետրիկ միացման ռեակցիաներում նկատվում է սինթեզի ստերեոսեկլուսիվուրյան աճ: Դա կարելի է բացատրել Cl-տեղակալիչի ներմուծման արդյունքում կոնյուլերսի մակրոլապուցվածքում ինդուցված ներմուծեկուլային տարածական փոփոխություններով: Խնայես ցույց է տրվել նախախնում ռենտգենկառուցվածքային անալիզի մեթոդով նմանատիպ մորիֆիկացված ալանինի կոմպլեքսների օրինակի վրա, N-բենզիլարուինի մնացորդի ֆենիլային օղակի 2-րդ դիրք ներմուծված քլոր-տեղակալիչի ազդեցությամբ փոփոխվում է N-բենզիլային խնդի դիրքը մետառի իոնի կոորդինացիոն դաշտում: Հավանաբար շնորհիկ Cl-տեղակալիչի և մետառի իոնի միջև առկա ձգողական փոխազդեցության, N-բենզիլային խումբը չնշին տեղաշարժվում է դեսի ամինաքրվային մնացորդը, ինչը կտրուկ նեղացնում է այն խոռոշը, որտեղ պետք է ներդրվի ծավալուն հետերոցիկլիկ նուկլեօֆիլ ազենտը դեկտրուալանինի մնացորդին միանալու համար: Դա մի կողմից կարող է բերել այդ

Առյան ուղղությամբ միացման ռեակցիաների կինետիկական արագության ամենա, հետևաբար նաև՝ ասիմետրիկ ռեակցիաների տևողության մեծացման, իսկ մյուս կողմից՝ միացման արգասիք կոմպլեքսների մինորային (*S,R*)-դիաստերեոիզոմերների էլ ավելի ապակայունացման, հետևաբար նաև՝ հիմնական (*S,S*)-դիաստերեոիզոմերների սինթեզի դիաստերեոմերային ավելցուկի, ինչը և նկատվում է սույն աշխատանքում (տես աղյուսակ 1):

Նպատակային ամինաքրուների անջատման համար աղաքրվային քայրայման են ենթարկվել մոդիֆիկացված դեհիդրոալանինի կոմպլեքսին (2) նուկլեօֆիլների միացման արդյունքում առաջացած հիմնական դիաստերեոմեր կոմպլեքսները (14,16,18,20,22,24,26,28,30,32): Աղաքրվային հիդրոիզոատներից ֆիլտրվել է ելային (*S*)-2-CBPB x HCl քրիտալյին օժանդակ ռեագենտը և լուծույթի հետագա իոնափոխանակային աղաքրկման և նպատակային ամինաքրուների ջրային երանուից բյուրեղացման ճանապարհով անջատվել են գրականության մեջ չնկարագրված (*S*-օ-ալանինի նոր  $\beta$ -հետերոցիկլիկ տեղակալված ածանցյալները (33-42): (Սխեմա 2):

Սխեմա 2



Սինթեզված ամինաքրու 42-ը օգտագործվել է պեպտիդային սինթեզում, ինչպես նաև ուսումնասիրվել է նրա ազդեցությունը պրոտեինաց Կ ֆերմենտի ակտիվության վրա: Փորձերը ցույց են տվել, որ այն ցուցաբերում է զգալի ինիդրացնող ազդեցություն:

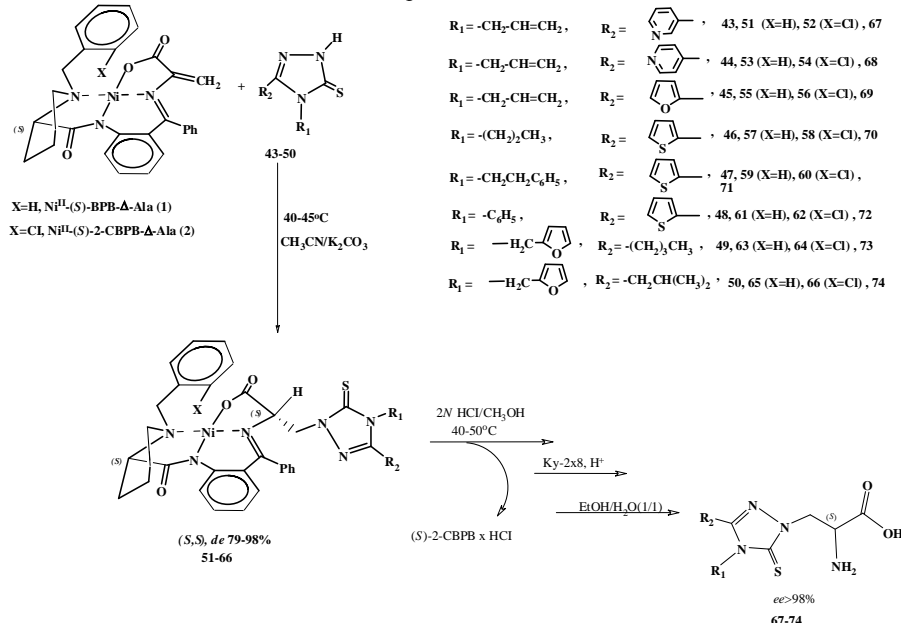
## 2. Կողային ռադիկալում այլ հետերոցիկլիկ օդակի հետ համակցված 1,2,4-արիազոլային տեղակալիչ պարունակող α-ամինաքրուների կենսամիմնայիկ ասիմետրիկ սինթեզը:

Դեհիդրոալանինի մոդիֆիկացված և չմոդիֆիկացված կոմպլեքսները հետազոտվել են երկու հետերոցիկլիկ օդակ պարունակող նուկլեոֆիլ ազենտների՝ մասնավորապես ֆուրան, բիոֆեն, պիրիդին տեղակալիչներ պարունակող տրիազոլների ասիմետրիկ միացման ռեակցիաներում: (Սխեմա 3): Այս

ռեակցիաները նույնպես արդյունավետ են ընթանում ացետոնի տրիխիլ միջավայրում պոտաշի մերկայությամբ՝ մինչև  $40\text{--}45^{\circ}\text{C}$  տաքացման պայմաններում:

Դեինդուալանինի քիրալային կոմպլեքսներին համակցված հետերոցիկլիկ օդակներով նույնագույն ասիմետրիկ միացման արդյունքում նույնպես առաջանում է (*S,S*)- և (*S,R*)-դիաստերեոմեր կոմպլեքսների խառնորդ՝ (*S*)-ամինաքրու պարունակող (*S,S*)-դիաստերեոիզոմերների բարձր թերուունամիկական ավելցուկով ( $de \sim 78\text{--}98\%$ ): Հիմնական դիաստերեոմեր կոմպլեքսները (**51-66**) անջատվել են ռեակցիոն խառնորդից սիլիկամեթիլ վրա քրոմատոգրաֆացմամբ [ $\text{SiO}_2$ ,  $20\times20$  սմ,  $\text{CHCl}_3:\text{CH}_3\text{COCH}_3$  (3:1)] և հետազոտվել ու պարզաբանվել է նրանց կառուցվածքն ու բացարձակ կոնֆիգուրացիան ֆիզիկաքիմիական անալիզի ժամանակակից մեթոդներով:

### Սխեմա 3



Ասիմետրիկ միացման ռեակցիաների արդյունքները բերված են արյուսակ 2-ում:

Ինչպես ցոյց է տալիս փորձնական տվյալների վերլուծությունը, այստեղ նույնպես նկատվում է սինթեզի ստերեոսելեկտիվության աճ չնոդիֆիկացված BPB քիրալային օժանդակ ռեագենտից կազմված կոմպլեքսներից մոդիֆիկացված 2-CBPB քիրալային ռեագենտի կոմպլեքսներին անցնելու դեպքում: Ինչպես և սպավում էր, միաժամանակ նկատվում է ասիմետրիկ ռեակցիայի կիսետիկական արագության անկում, հետևաբար նաև՝ սինթեզի ընդհանուր տևողության երկարաձգում (հնարավոր բացատրությունը բերված է նախորդ բաժնում):

Դեմիուրալանինի կոմպլեքսներին այլ հետերոցիլիիկ օղակների հետ համակցված 5-թիօրոս-1,2,4-տիազոլների ասիմետրիկ միացման արդյունքները

N	Ելային կոմպլեքս	Նուկլեօֆիլ ազինոտ	Արզասիք կոմպլեքս	Ժամանակ (րոպե)	$(S,S)/(S,R)$ (%)	Ելք (%)**
1	Ni <sup>II</sup> -(S)-BPB-Δ-Ala (1)	43	51	180	98,60/1,40	62
2	Ni <sup>II</sup> -(S)-2-CBPB-Δ-Ala (2)	-//-	52	210	98,75/1,25	70
3	Ni <sup>II</sup> -(S)-BPB-Δ-Ala (1)	44	53	200	98,12/1,88	65
4	Ni <sup>II</sup> -(S)-2-CBPB-Δ-Ala (2)	-//-	54	240	99,1/0,89	72
5	Ni <sup>II</sup> -(S)-BPB-Δ-Ala (1)	45	55	80	90,50/9,50	71
6	Ni <sup>II</sup> -(S)-2-CBPB-Δ-Ala (2)	-//-	56	180	98,50/1,50	73
7	Ni <sup>II</sup> -(S)-BPB-Δ-Ala (1)	46	57	60	96,01/3,99	64
8	Ni <sup>II</sup> -(S)-2-CBPB-Δ-Ala (2)	-//-	58	90	98,06/1,94	69
9	Ni <sup>II</sup> -(S)-BPB-Δ-Ala (1)	47	59	110	90,20/9,80	65
10	Ni <sup>II</sup> -(S)-2-CBPB-Δ-Ala (2)	-//-	60	140	96,62/3,38	70
11	Ni <sup>II</sup> -(S)-BPB-Δ-Ala (1)	48	61	180	89,38/10,62	70
12	Ni <sup>II</sup> -(S)-2-CBPB-Δ-Ala (2)	-//-	62	200	91,77/8,23	63
13	Ni <sup>II</sup> -(S)-BPB-Δ-Ala (1)	49	63	100	97,05/2,95	68
14	Ni <sup>II</sup> -(S)-2-CBPB-Δ-Ala (2)	-//-	64	120	98,05/1,95	75
15	Ni <sup>II</sup> -(S)-BPB-Δ-Ala (1)	50	65	90	92,04/7,96	60
16	Ni <sup>II</sup> -(S)-2-CBPB-Δ-Ala (2)	-//-	66	120	94,04/5,96	65

\* - արգասիք կոմպլեքսների դիաստերոիդոներների հարաբերությունը բառ դիրապային ԲԱՀՀ անալիզի տվյալների

\*\* - դիմացան նոր միացման փուլում (դիաստերոների կոմպլեքսների հասնակությունը)

Նուկլեօֆիլ միացման ռեակցիաների արդյունքում առաջացած մոդիֆիկացված հիմնական դիաստերեոներ կոմպլեքսների աղարթվային քայլայման հիդրոխղատներից ստանդարտ մեթոդով անշատվել են կողքային շղրայում երկու համակցված հետերոցիլիկ օղակ պարունակող ա-ամինաթրուները (67-74):(Ախտամա 4):

Սույն բաժնում միմքեզված 67, 68, 69, 73 և 74 ամինանարթրուները այնուհետև հաջողվել է ներդնել պեպտիդների կառուցվածքի մեջ: Մինթեզվել են N-Form և N-BOC պաշտպանված դի- և տրի-պեպտիդներ նշված ամինաթրուների պարունակությամբ և հետազոտվել է դրանց ազդեցությունը տրիպսին և պրոտեինազ K ֆերմենտների ակտիվության վրա: Արդյունքում արձանագրվել է, որ պրոտեինազ K ֆերմենտի ակտիվության վրա նշված ամինաթրուները ցուցաբերում են արգելակող ազդեցություն, իսկ նրանցից կազմված պեպտիդները՝ ակտիվացնող ազդեցություն: Իսկ տրիպսին ֆերմենտի վրա ինչպես ամինաթրուները, այնպես էլ նրանցից կազմված պեպտիդները ցուցաբերում են միայն ակտիվացնող հատկություն:

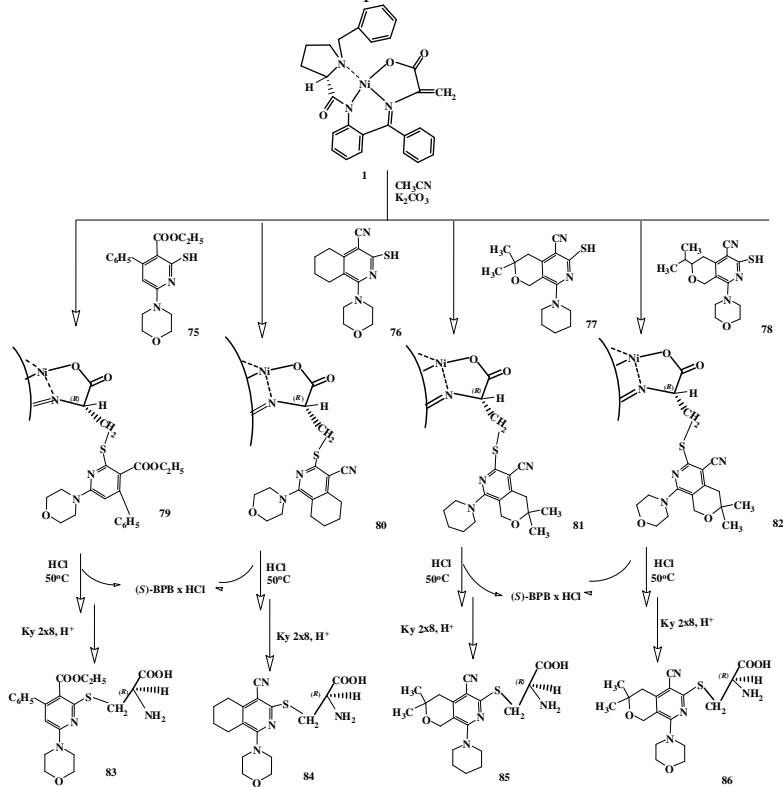
### 3. Կողքային ռադիկալում համակցված հետերոցիլիկ մոքայինային և պիրիդինային օղակներ պարունակող S-տեղակազմական (R)-ցիստերների ասիմետրիկ սինթեզը:

Աշխատանքի հաջորդ փուլում իրականացվել է դեկիդրոալանինի շմողիֆիկացված կոմպլեքսի (1) կրկնակի C=C կապին մորֆոլինային և պիրիդինային օղակներ պարունակող հետերոցիլիկ նուկլեօֆիլների (75-78)

ասիմետրիկ միացման ռեակցիաները: Արդյունքում նշակել են համապատասխան հետքողիկիկ S-տեղակալված (*R*)-ցիստենիների ասիմետրիկ սինթեզի մեթոդներ:

Նուկլեօֆիլ միացման ռեակցիաները հետազոտվել են  $\text{CH}_3\text{CN}/\text{NaOH}$ ,  $\text{CH}_3\text{CN}/\text{Et}_3\text{N}$  և  $\text{CH}_3\text{CN}/\text{K}_2\text{CO}_3$  միջավայրերում սենյակային ջերմաստիճանի և մինչև  $45\text{--}50^\circ\text{C}$  տաքացման պայմաններում: (Սխեմա 4): Լավագույն արդյունքներ են արձանագրվել  $\text{CH}_3\text{CN}/\text{K}_2\text{CO}_3$  միջավայրում սենյակային ջերմաստիճանի պայմաններում: Նուկլեօֆիլային միացման ռեակցիաների ընթացքի հետևել ենք ՆՇՔ մեթոդով [ $\text{SiO}_2$ ,  $\text{CH}_3\text{COOC}_2\text{H}_5:\text{CHCl}_3$  (5:1)] ըստ ելային 1 կոմպլեքսի հետքերի անհետացման և միացման արգասիք կոմպլեքսների (79-82) (*S,R*)- և (*S,S*)-դիաստերեոիզոմերների միջև հավասարակշռության հաստատման:

Սխեմա 4



Ինչպես և նախորդ դեպքերում, այստեղ նույնպես նուկլեօֆիլային միացման արդյունքում առաջանում են արգասիք կոմպլեքսների *L,L*- կամ (*S,R*)- և *L,D*- կամ (*S,S*)-դիաստերեոիզոմերների խառնուրդ՝ հետերոցիկլիկ S-տեղակալված (*R*)-ցիստենիներ պարունակող (*S,R*)-դիաստերեոիզոմների բարձր

դիաստերեոմերային ավելցուկով ( $dc \sim 82\text{-}90\%$ ) (*S*-տեղակալված ցիստեհնների դեպքում համաձայն Կան-Ինգոլդ-Պրելոնզի կանոնի, *L*-բացարձակ կոնֆիգուրացիան համապատասխանում է (*R*)-կոնֆիգուրացիային, իսկ *D*-ն (*S*)-կոնֆիգուրացիային):

Հիմնական դիաստերեոմեր կոմպլեքսի դիաստերեոմերային ավելցուկը ( $dc$ ) որոշվել է քիրալային  $\mu\text{U}\zeta\varphi$  անալիզի մեթոդով՝ դիաստերեոմեր կոմպլեքսների խառնուրդի (մինչև քրոմատոգրաֆացումը) աղաքրվային հիդրոխազուից անջատված ամինաթթվային խառնուրդի էնանտիոմերային անալիզով: (Աղյուսակ 3):

### Աղյուսակ 3

**Նեիիդրոալմինի քիրալային կոմպլեքսին (1) մորֆոլինային և պիրիդինային հետերոցիկլերով համակցված մուլտիֆիլիների (75-78) ասիմետրիկ միացման արդյունքները**

№	Նուկլեօֆիլ ագենտ	Ժամանակ (րոպե)	Սիացման արգասիրներ		
			Հիմնական դիաստերեոմեր	$dc, \%$ *	Զիմնական ելք (%)**
1	<b>75</b>	10	<b>79</b>	88,03	78
2	<b>76</b>	40	<b>80</b>	86,08	81
3	<b>77</b>	20	<b>81</b>	82,12	62
4	<b>78</b>	15	<b>82</b>	90,03	71

\* -  $dc$  (միացման արգասիր կոմպլեքսների դիաստերեոմերների հարաբերությունը) ըստ քիրալային  $\mu\text{U}\zeta\varphi$  անալիզի տվյալների

\*\*- քիմիական երրորդ միացման փոլում (դիաստերեոմեր կոմպլեքսների խառնուրդի):

Կողքային ռադիկալում մորֆոլինային և այլ խմբերով համակցված պիրիդինի հետերոցիկլիկ օնակներ պարունակող *S*-տեղակալված (*R*)-ցիստեհնները (83-86) անջատվում են հիմնական դիաստերեոմեր կոմպլեքսների (79-82) աղաքրվային հիդրոխազուներից ստանդարտ մեթոդներով, նրանց կառուցվածքը և բացարձակ կոնֆիգուրացիան հետազոտվել և պարզաբանվել է ժամանակակից ֆիզիկաքիմիական անալիզի մեթոդներով:

**4. (*S*)-և (*R*)-թ-(6-ամին-1,3-դիմեթիլ-2,4-դիօքս-1,2,3,4-տետրահիդրոպայրինի-5-իլ)-աղաքրմաների ասիմետրիկ սիմբեզը:**

Առենախոսական աշխատանքի տույն բաժնում իրականացվել է 6-ամինո-1,3-դիմեթիլ-2,4-դիօքս-1,2,3,4-տետրահիդրոպայրիմիդինի (87) նուկլեօֆիլ միացման ռեակցիան դեկտրուալանինի քիրալային շնորհիկացված (1) և մոդիֆիկացված (2) կոմպլեքսներին: (Աղյուսակ 5):

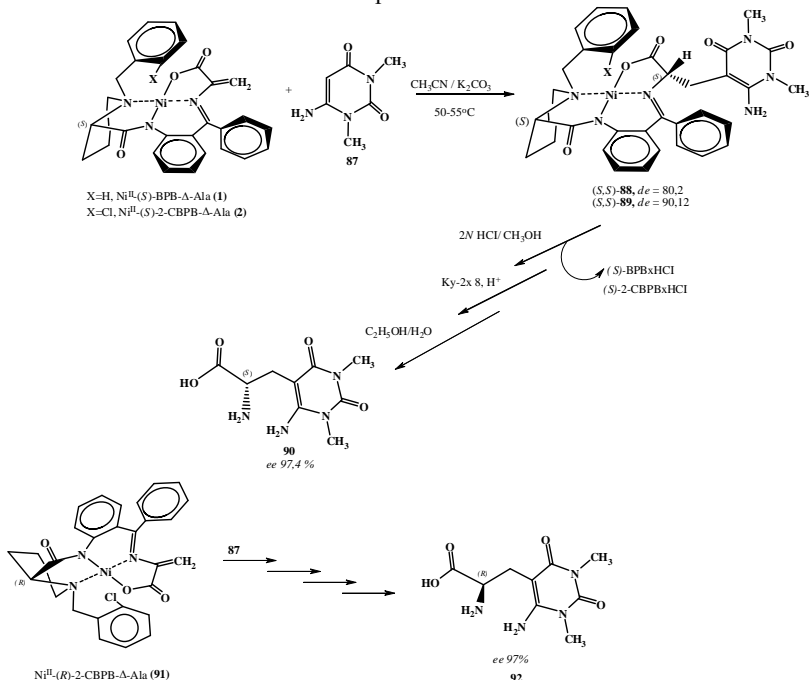
Այս նուկլեօֆիլ միացման ռեակցիան ևս հեշտ և քանակական ելքերով է ընթանում ացետոնիտրիլի միջավայրում պոտաշի ներկայությամբ՝ մինչև  $50^{\circ}\text{C}$  տաքացման պայմաններում:

Ինչպես և սպասակում եր, միացման ռեակցիայի արդյունքում առաջանում է (*S,S*)- և (*S,R*)-դիաստերեոմեր կոմպլեքսների խառնուրդ՝ (*S*)-ամինաթթու պարունակող դիաստերեոմերի բարձր ավելցուկով: Միացման արգասիր կոմպլեքսների հիմնական (*S,S*-88,89 դիաստերեոմերները անջատվել են ռեակցիոն միջավայրից քրոմատոգրաֆացմամբ [ $\text{SiO}_2$ , 20x20 սմ,  $\text{CHCl}_3:\text{CH}_3\text{COCH}_3$  (2:1)] և նրանց կառուցվածքն ու բացարձակ կոնֆիգուրացիան հետազոտվել և բացահայտվել է ֆիզիկաքիմիական անալիզի մեթոդներով:

Նպաստակային էնանտիոմերապես հարստացված հետերոցիկլիկ

տեղակալված  $\alpha$ -ամինաթթուն (90) անջատվել է արգասիք կոմպլեքսի դիաստերոմերային խառնուրդից ստանդարտ եղանակով:

### Միենա 5



Դրա համար խառնուրդը մերթանով միջավայրում տարացման պայմաններում քայլայվել է 2N HCl-ի ջրային լուծույթով, ելային քիրալային օժանդակ ռեագենտները անջատվել են հիդրոքլորիդի տեսրով ֆիլտրմամբ, իսկ ֆիլտրատը աղազրկվել է ինափոխանակային սորբիցիայի և դետրոցիայի եղանակով: Նպատակային ամինաթթուն բյուրեղացվել է երանով 50% ջրային լուծույթից:

Սուսացվել է նոր ոչ սպիտակուցային հետերոցիլիկ տեղակալված  $\alpha$ -ամինաթթու՝ (S)-β-(6-ամին-1,3-դիմեթիլ-2,4-դիօքս-1,2,3,4-տետրահիդրոպիրիդին-5-իլ)- $\alpha$ -ալանին (90), 40% քիմիական ելքով և 97,4% էնանտիոմերային մաքրությամբ:

Նոյն մերուրով (R)-ալրոլինի հենքի վրա կառուցված Ni<sup>II</sup>-(R)-2-CBPB-Δ-Ala (91) կոմպլեքսի կիրառմամբ մինթեզվել է (R)-β-(6-ամին-1,3-դիմեթիլ-2,4-դիօքս-1,2,3,4-տետրահիդրոպիրիդին-5-իլ)- $\alpha$ -ալանին (92) հետերոցիլիկ տեղակալված ոչ սպիտակուցային  $\alpha$ -ամինաթթուն մինչև 97 % էնանտիոմերային մաքրությամբ:

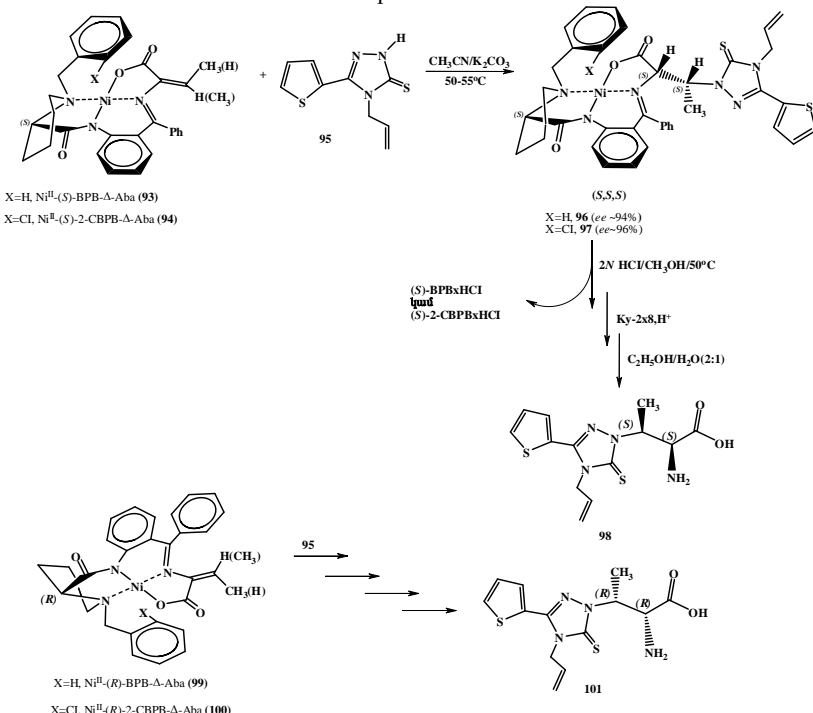
Սիմբեզված 90 և 92 ամինաթթուները ներկայում հետազոտվում են ՀՀ ԳԱԱ «Հայկենսատեխնոլոգիա» ԳԱԿ-ի մետաբոլիզմի ինժեներային լաբորատորիայում:

**5. (2*S*,3*S*)- и (2*R*,3*R*)- $\beta$ -[3-(թիոֆեն-2-իլ)-4-ալիլ-5-թիօքսո-1,2,4-տրիազոլ-1-իլ]- $\alpha$ -ամինակարագարբիլ սախմետրիկ սինթեզ:**

Հաշվի առնելով ամինակարագարբիլ ածանցյալների կարևորությունը դրաբեն ԳԱԿԹ-ի նմանակների, ինչպես նաև կողքային ռադիկալում թիոֆենային օդակով համակցված տրիազոլային տեղակալիքներ պարունակող ա-ամինապրոպինարբիլ ածանցյալների մոտ բացահայտված բարձր հակամանքեային ակտիվությունը, սույն բաժնում նպատակ է դրվել հետազոտել ամինակարագարբիլ կողքային ռադիկալի մեջ թիոֆենային տեղակալիք պարունակող տրիազոլային հետերոցիկլիկ օդակի ներդրման հնարավորությունը:

Դրա համար հետազոտվել է  $Ni^{II}$  իոնի հետ (*E,Z*)-դեհիդրոամինակարագարբիլ ( $\Delta$ -Aba) և սոոդիֆիլացված ու չմոդիֆիլացված թիրալային օժանդակ ռեագենտների (2-CBPB) և (BPB) Շիֆի հիմքերի առաջացրած հարք-քառակուսային կոմպլեքսների (93,94) էլեկտրոֆիլ  $C=C$  կապին 3-մերկապոռ-4-ալիլ-5-(թիոֆեն-2-իլ)-1,2,4-տրիազոլի (95) ասիմետրիկ միացման ռեակցիաները: Սիացումն իրականացվել է ացետոնի սուլֆում  $K_2CO_3$ -ի ներկայությամբ  $50-55^{\circ}C$  ջերմաստիճանի պայմաններում: (Սխեմա 6):

Սխեմա 6

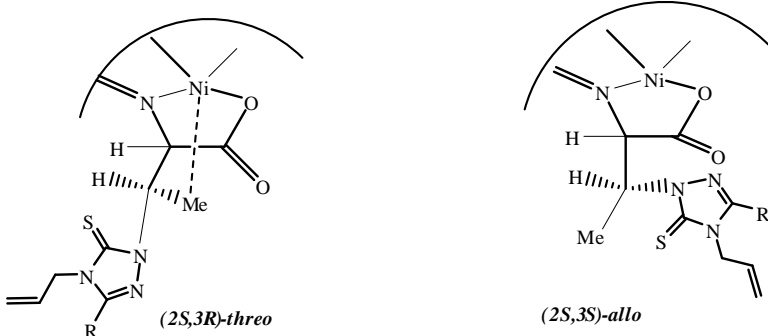


Միացման արգասիք հիմնական դիաստերումեր կոմպլեքսների (96, 97) ամինարբվային մնացորդի օ-ածխածնի ատոմի (*S*-բացարձակ կոնֆորմացիան որոշվել է 589 նմ ալիքի երկարության տակ օպտիկական պտույտի դրական արժեքով, ինչպես դա կատարվել է նախորդ բաժններում բերված այլ հետերոցիկլիկ տեղակալված օ-ամինարբուների կոմպլեքսների դեպքում:

Կոմպլեքսների ամինարբվային մնացորդի  $\beta$ -ածխածնի ատոմի բացարձակ կոնֆորմացիան որոշվել է  $^1\text{H}$  ՍՍՌ-մերոդով՝ ըստ  $\beta$ -մերիլային պրոտոնների ազդանշանների բիմիական տեղաշարժի արժեքների: Ինչպես ցույց է տրվել նախկինում օ-ամինակարագարբի բարձրացնելով  $\beta$ -տեղակալված այլ ածանցյալների, օրինակ՝  $O$ -մերիլյուրենինի նմանատիպ կառուցվածքով կոմպլեքսների դեպքում, ամինարբվային մնացորդի (*2S,3S*)-*allo* բացարձակ կոնֆորմացիայի դեպքում  $\beta$ -CH<sub>3</sub> պրոտոնների ազդանշանները բաշխված են համեմատաբար ավելի ուժեղ դաշտում, իսկ (*2S,3R*)-*threo* կոնֆորմացիայի դեպքում՝ քոյլ դաշտում:

Մեր կողմից սինթեզված դիաստերումեր կոմպլեքսների  $^1\text{H}$  ՍՍՌ-սպեկտրներում նկատվել է նոյն օրինաչափությունը: Հիմնական դիաստերումեր կոմպլեքսների (96, 97)  $^1\text{H}$  ՍՍՌ-սպեկտրներում ամինարբվային մնացորդի  $\beta$ -CH<sub>3</sub> խմբի պրոտոնների բիմիական ազդանշանները բաշխված են համեմատաբար ավելի ուժեղ դաշտում, իսկ անջատված մինորային դիաստերումեր կոմպլեքսի մերիլային պրոտոնների ազդանշանները՝ քոյլ դաշտում: Դա վկայում է այն մասին, որ սինթեզված հիմնական դիաստերումեր կոմպլեքսների (96, 97) ամինարբվային մնացորդներին բնորոշ է (*S*)-*anti* կամ (*2S,3S*)-*allo* բացարձակ կոնֆորմացիան:

Քիմիական ազդանշանների նման տեղաշարժները բացատրվում են մետաղի կոռորդինացիոն թաղանքում ամինարբվային մնացորդի մերիլ խմբի տարածական դիրքով: ՍՍՌ-սպեկտրում մերիլային պրոտոնների ազդանշանների տեղաշարժը դեպի համեմատաբար ավելի քոյլ դաշտ հավանաբար հանդիսանում է ամինարբվային մնացորդի CH<sub>3</sub> խմբի անմիջապես վերևում բաշխված Ni<sup>2+</sup> իոնի մագնիսային անդուրովախայի ազդեցության հետևանքը, ինչը նկատվում է ամինարբվային մնացորդի (*2S,3R*)-*threo* բացարձակ կոնֆորմացիաների դեպքում: (Նկար 2):



**Նկար 2.** Նույնեղին միացման արգասիք դիաստերումեր կոմպլեքսներում ամինարբվային մնացորդի ռադիկալի խմբի տարածական դիրքերը:

Հետազոտվել է հետերոցիկլիկ նուկլեոֆիլի (95) ասիմետրիկ միացման ռեակցիան ինչպես անհատական (*E*- և (*Z*)-դեկտրուամինակարագարքի կոմպլեքսներին, այնպես էլ՝ նրանց խառնուրդին: Ցույց է տրվել, որ անկախ եղային կոմպլեքսի դեկտրուամինակարագարքի վային մնացորդի կոնֆիգուրացիայից [(*Z*) կամ *E*], նուկլեոֆիլի միացման վերջնական հիմնական արգասիքը հանդիսանում է (*S*)-*anti* կոնֆիգուրացիայով հետերոցիկլիկ տեղակալված օ-ամինակարագարքի դիաստերեոներ կոմպլեքսը: Արդյունքները բերված են աղյուսակ 4-ում:

#### Աղյուսակ 4

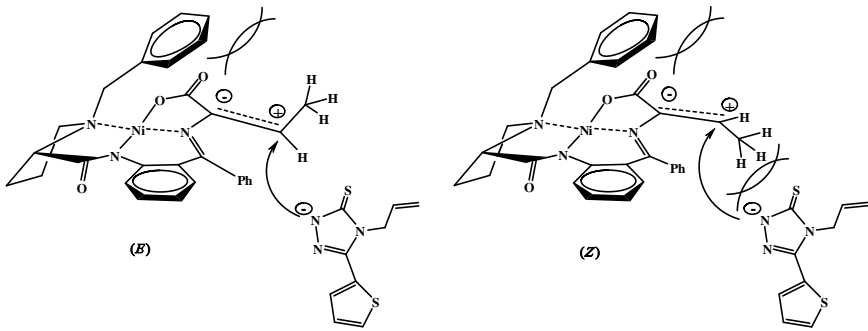
Քիրալային դեկտրուամինակարագարքի կոմպլեքսներին հետերոցիկլիկ նուկլեոֆիլի (95) ասիմետրիկ միացման արդյունքները՝  $CH_3CN/K_2CO_3$  միջավայրում  $50-55^{\circ}C$  թերմաստիճանի տակ

N	Ելային կոմպլեքս	Ժամանակ (ժամ)	$(S,S,S)/(S,R,S),$ (%)*	Քիմ. ելք (%)**
1	$Ni^{II}-(S)-BPB-(E+Z)-\Delta-Aba$ (93)	11,5	97,03/2,97	66
2	$Ni^{II}-(S)-2-CBPB-(E+Z)-\Delta-Aba$ (94)	13,5	98,14/1,86	71
3	$Ni^{II}-(S)-BPB-(E)-\Delta-Aba$ [( <i>E</i> )-93]	10	97,01/2,99	68
4	$Ni^{II}-(S)-BPB-(Z)-\Delta-Aba$ [( <i>Z</i> )-93]	180	-	10
5	$Ni^{II}-(S)-2-CBPB-(E)-\Delta-Aba$ [( <i>E</i> )-94]	12	98,16/1,84	73
6	$Ni^{II}-(S)-2-CBPB-(Z)-\Delta-Aba$ [( <i>Z</i> )-94]	180	-	15

\*-դիաստերեոներ կոնֆիգուրացիան հարթությունը բար ՚H ՍՊՆ-աճանակի տվյալների;

\*\*դիմիսիան եղբ միացման փուլում (դիաստերեոներ կոնֆիգուրացիան խառնուրդի):

Ինչպես երևում է աղյուսակից, (*E*)-դեկտրուամինակարագարքի կոմպլեքսներից (*Z*)-դեկտրուամինակարագարքի կոմպլեքսներին անընելիս, նկատվում է ասիմետրիկ ռեակցիաների բնարկը կտրուկ դանդաղում: Հավանաբար դա պայմանավորված է տարածական գործոններով: (*Z*)-93 և (*Z*)-94 կոմպլեքսների դեպքում դեկտրուամինարքի մնացորդին ծավալուն նուկլեոֆիլի մոտեցումը Շիֆի հիմքի հարթության *si*-կողմից հավելյալ էլյուսնավում է դեկտրուամինակարագարքի մնացորդի ծավալուն  $CH_3$  խմբով: Քանի որ ի սկզբանե կոմպլեքսների մակրոկառուցվածքում Շիֆի հիմքի հարթության բարձր էլյուսնացված է *N*-բենզիլապրոլինի մնացորդի ծավալուն բենզիլային խմբով, ամինարքվային մնացորդին նուկլեոֆիլի միացումը նախընտրաբար ընթանում են հարթության հակառակ *si*-կողմից: Հարթության սի կողմից ամինարքվային մնացորդի լրացուցիչ էլյուսնացումը դեկտրուամինակարագարքի ծավալուն մերիլային խմբով դժվարեցնում է ծավալուն տրիազոլային օլոսի մոտեցումը  $C=C$  կապին հարթության այդ նույն կողմից, ինչը և բերում է նուկլեոֆիլ միացման ռեակցիայի արագության կտրուկ անկմանը (*Z*)-93 և (*Z*)-94 կոմպլեքսների դեպքում: (Նկար 3, թ): Նման կարգի լրացուցիչ էլյուսնացում բացակայում է դեկտրուամինակարագարքի (*E*)-իզոմերին նուկլեոֆիլի միացման անցումային վիճակում, ինչը և ապահովում է (*E*)-93 և (*E*)-94 կոմպլեքսներին ծավալուն տրիազոլիների միացման համեմատաբար բարձր կիմետրիկական արագությունը: (Նկար 3, ա):



**Նկար 3.** (*E*) և (*Z*)-Դեփորուսիճակարագարբի կոմպլեքսներին հետերոցիկլիկ նուկլեոֆիլի (**95**) միացնան տարածական դիմարությունները:

Հիմնական (*S,S,S*)-դիաստերեոնների կոմպլեքսների (**96**, **97**) քայլայումը և նպատակային  $\beta$ -հետերոցիկլիկ տեղակալված (*2,S,3S*)- $\alpha$ -ամինակարագարբի (**98**) անջատումը իրականացվել է նախորդ բաժիններում նկարագրված ստանդարտ մեթոդով (տես սխեմա 6): Նպատակային ամինարթուն բյուրեղացվել է ջրային էրանոյից և նրա կառուցվածքը ու բացարձակ կոնֆիգուրացիան հետազոտվել ու պարզաբանվել են ֆիզիկաքիմիական անալիզի մեթոդներով:

Ստացված նոր հետերոցիկլիկ տեղակալված ոչ սպիտակուցային ամինարթիքի՝ (*2S,3S*)- $\beta$ -[3-(թիոֆեն-2-իլ)-4-ալիլ-5-թիօքս-1,2,4-տրիազոլ-1-իլ]- $\alpha$ -ամինակարագարբի (**98**) էնանտիմետրային ավելցուկը (*ee*) գերազանցում է 98%:

Նոյն մեթոդով (*R*)-պրոյինից կազմված թիրալային օժանդակ ռեագենտների հենքի վրա կառուցված դեփորումիճակարագարբի կոմպլեքսների կիրառմամբ (**99**, **100**) իրականացվել է (*2R,3R*)- $\beta$ -[3-(թիոֆեն-2-իլ)-4-ալիլ-5-թիօքս-1,2,4-տրիազոլ-1-իլ]- $\alpha$ -ամինակարագարբի (**101**) ասինտրիկ սինթեզը (տես սխեմա 7): Նպատակային ամինարթիքի կառուցվածքը և բացարձակ կոնֆիգուրացիան հաստատվել է ֆիզիկաքիմիական անալիզի մեթոդներով:

Անջատված ամինարթիքի (**101**) տեսակարար օպտիկական պտույտի արժեքը բացարձակ նշանով համապատասխանում է **98** ամինարթիքի տեսակարար օպտիկական պտույտի արժեքին, սակայն ունի հակառակ պտուման նշան, ինչը վկայում է նրա (*2R,3R*)-*allo* բացարձակ կոնֆիգուրացիայի մասին:

Այսիսով, ատենախոսական աշխատանքի սույն բաժնում սինթեզվել են նոր, գրականուրյան մեջ չնկարագրված  $\alpha$ -ամինակարագարբի  $\beta$ -հետերոցիկլիկ տեղակալված ածանցյալներ՝ (*2S,3S*- և (*2R,3R*)- $\beta$ -[3-(թիոֆեն-2-իլ)-4-ալիլ-5-թիօքս-1,2,4-տրիազոլ-1-իլ]- $\alpha$ -ամինակարագարբուներ (**98**, **101**) բարձր էնանտիմետրային նարբությամբ (*ee* > 98%):

## 6. (*R*)- $\alpha$ -ալանիճիր $\beta$ -հետերոցիկլիկ տեղակալված ածանցյալների ասինտրիկ սինթեզը:

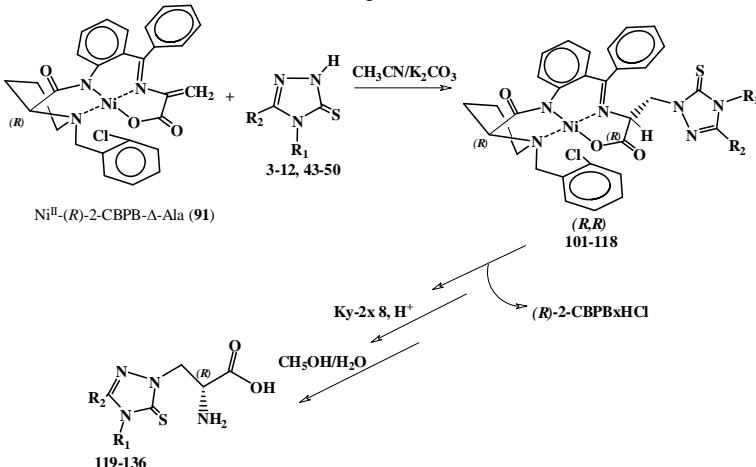
Ատենախոսական աշխատանքի սույն բաժնում իրականացվել է (*R*)-պրոյին ամինարթիքի հենքի վրա կառուցված մոլիֆիկացված թիրալային օժանդակ ռեագենտի (2-CBPB) և դեփորուալանինի Շիֆի հիճքի հետ  $\text{Ni}^{II}$  իոնի առաջարած հարթ-քառակուսային կոմպլեքսին (**91**) տեղակալված 5-թիօքս-1,2,4-տրիազոլների

ասիմետրիկ միացման ռեակցիաները, նպատակ ունենալով մշակել (*R*)-բացարձակ կոնֆիգուրացիայով համապատասխան  $\beta$ -հետերոցիլիկ տեղակալված  $\alpha$ -ալանինի նմանակների ասմիտրիկ սինթեզի մեթոդներ:

(*R*)-բացարձակ կոնֆիգուրացիայով ամինաթրուները յայն կիրառություն են ստացել դեղագործությունում, դրանք նույնում են բազմաթիվ պեպտիդային և այլ բնույթի դեղապատրաստուկների բաղադրության մեջ: Բացի դրանցից (*R*)-բացարձակ կոնֆիգուրացիայով  $\alpha$ -ամինաթրուները խստ անհրաժեշտ են նաև քիրալային  $\Phi\text{A}\Phi$  և  $\Phi\text{U}\Delta\Phi$  անալիզի մեթոդներով նոր սինթեզված, գրականության մեջ չնկարագրված համապատասխան (*S*)- $\alpha$ -ամինաթրուների բացարձակ կոնֆիգուրացիաների և էնանտիոմերային մաքրության որոշման գործընթացներում:

Հիմք ընդունելով մողիֆիկացված (*S*)-2-CBPB քիրալային օժանդակ ռեագենտի և դեփառուալանինի Շիֆթի հիմքի հետ  $\text{Ni}^{II}$  իոնի առաջացրած կոմպլեքսի (2) կիրառմամբ  $\beta$ -հետերոցիլիկ տեղակալված  $\alpha$ -ամինաթրուների ասիմետրիկ սինթեզի ռեակցիաներում արձանագրված համեմատական բարձր արդյունավետությունը, սույն բաժնում (*R*)-բացարձակ կոնֆիգուրացիայով ռադիկալուում տեղակալված տրիազոլային օդակ պարունակող  $\alpha$ -ալանինի ածանցյալների ասիմետրիկ սինթեզի համար որպես ելային դեփառուալանաթրպային սինտոն ընտրվել է մողիֆիկացված  $\text{Ni}^{II}$ -(*R*)-2-CBPB- $\Delta$ -Ala (91) կոմպլեքսը: (Սխեմա 7):

Սխեմա 7



<b>Որություն՝</b>	$\text{R}_1 = \text{C}_6\text{H}_5, \text{R}_2 = \text{o-NO}_2\text{C}_6\text{H}_4$ (101, 119)	$\text{R}_1 = \text{CH}_2\text{-CH=CH}_2, \text{R}_2 = \text{N}(\text{C}_6\text{H}_5)_2$ (111, 129)
	$\text{R}_1 = \text{C}_6\text{H}_5(\text{CH}_2)_2, \text{R}_2 = \text{CH}_3(\text{CH}_2)_3$ (102, 120)	$\text{R}_1 = \text{CH}_2\text{-CH=CH}_2, \text{R}_2 = \text{N}(\text{C}_6\text{H}_5)_2$ (112, 130)
	$\text{R}_1 = \text{CH}_2=\text{C}(\text{CH}_3)\text{-CH}_2, \text{R}_2 = \text{CH}_3(\text{CH}_2)_3$ (103, 121)	$\text{R}_1 = \text{CH}_2\text{-CH-CH}_2, \text{R}_2 = \text{N}(\text{C}_6\text{H}_5)_2$ (113, 131)
	$\text{R}_1 = \text{CH}_3(\text{CH}_2)_2, \text{R}_2 = \text{CH}_3(\text{CH}_2)_3$ (104, 122)	$\text{R}_1 = \text{CH}_3(\text{CH}_2)_2, \text{R}_2 = \text{N}(\text{C}_6\text{H}_5)_2$ (114, 132)
	$\text{R}_1 = \text{CH}_3(\text{CH}_2)_2, \text{R}_2 = (\text{CH}_3)_2\text{CHCH}_2$ (105, 123)	$\text{R}_1 = \text{C}_6\text{H}_5\text{CH}_2\text{CH}_2, \text{R}_2 = \text{N}(\text{C}_6\text{H}_5)_2$ (115, 133)
	$\text{R}_1 = \text{C}_6\text{H}_5(\text{CH}_2)_2, \text{R}_2 = (\text{CH}_3)_2\text{CHCH}_2$ (106, 124)	$\text{R}_1 = \text{C}_6\text{H}_5, \text{R}_2 = \text{N}(\text{C}_6\text{H}_5)_2$ (116, 134)
	$\text{R}_1 = \text{CH}_2=\text{CH-CH}_2, \text{R}_2 = (\text{CH}_3)_2\text{CHCH}_2$ (107, 125)	$\text{R}_1 = -\text{H}_2\text{C}(\text{O})-\text{C}_6\text{H}_4-\text{CH}_2-$ , $\text{R}_2 = -(\text{CH}_2)_2\text{CH}_3$ (117, 135)
	$\text{R}_1 = \text{CH}_2=\text{C}(\text{CH}_3)\text{-CH}_2, \text{R}_2 = (\text{CH}_3)_2\text{CHCH}_2$ (108, 126)	$\text{R}_1 = -\text{H}_2\text{C}(\text{O})-\text{C}_6\text{H}_4-\text{CH}_2-$ , $\text{R}_2 = -\text{CH}_2\text{CH}(\text{CH}_3)_2$ (118, 136)
	$\text{R}_1 = \text{CH}_2=\text{CH-CH}_2, \text{R}_2 = \text{CH}_3(\text{CH}_2)_3$ (109, 127)	
	$\text{R}_1 = \text{CH}_2=\text{CH-CH}_2, \text{R}_2 = \text{C}_6\text{H}_5\text{CH}_2$ (110, 128)	

Որպես նուկլեոֆիլ ագենտներ օգտագործվել են 3-րդ և 4-րդ դիքրետում ալիքատիկ, արոմատիկ և հետերոցիկլիկ տեղակալված տրիազոլներ (3-12, 43-50): Նույն արդյունավետությամբ նուկլեոֆիլ միացման ռեակցիաները ընթանում են  $\text{CH}_3\text{CN}/\text{K}_2\text{CO}_3$  միջավայրում սենյակային և մինչև  $50^\circ\text{C}$  տարացման պայմաններում: Նուկլեոֆիլ միացման ռեակցիաների արդյունքում առաջացած (*R,R*)-բացարձակ կոնֆիգուրացիայով հիմնական դիաստերեոների (101-118) աղաքրքային բայրայման հիդրոխացածից ստանդարտ մեթոդով անջատվել են հետերոցիկլիկ տեղակալված նպատակային (*R*)-ա-ամինարբուները (119-136): (Սխեմա 7): Սինթեզված ամինարբուների տեսակարար օպտիկական պոլույտի արժեքները բացարձակ արժեքով համապատասխանում են նրանց համապատասխան (*S*)-անտիպոդների (33-42, 67-74) տեսակարար օպտիկական պոլույտի արժեքներին, սակայն ունեն պոտոման հակառակ նշան, ինչը վկայում է սինթեզված ամինարբուների (*R*)-բացարձակ կոնֆիգուրացիաների մասին:

Սույն բաժնում սինթեզվել են կոռդրային ռադիկալում ալիքատիկ, արոմատիկ և հետերոցիկլիկ տեղակալիչներով համակցված 5-թիօրու-1,2,4-տրիազոլային օղակ պարունակող (*R*)-ա-ալանինի նոր, գրականության մեջ շնկարագրված 18 նմանակներ (119-136), որոնց կառուցվածքը և բացարձակ կոնֆիգուրացիաները պարզաբանվել են ժամանակակից ֆիզիկաքիմիական անալիզի մեթոդներով:

## ԵԶՐԱԿԱՑՈՒԹՅՈՒՆՆԵՐ

Գիտահետազոտական աշխատանքների արդյունքում ստացված տվյալների հիման վրա կարելի հանգել հետևալ եղանակացություններին.

1. Հետազոտվել են դեմքիդրոալանինի մոդիֆիկացված և շմոդիֆիկացված քիրալյային կոմպլեքսներին տարբեր կառուցվածքի հետերոցիկլիկ ռեակցիաների նուկլեոֆիլ միացման ռեակցիաները: Ցույց է տրվել կոռդրային ռադիկալում ծավալուն հետերոցիկլիկ տեղակալիչներ պարունակող (*S*)- և (*R*)-ա-ամինարբուների բարձրսեելեկտիվ (*de* մինչև 98%) ասիմետրիկ սինթեզի հնարավորությունը՝ որպես ՊՖ-կախյալ քերմենտների մոդելային համակարգեր մոդիֆիկացված (*S*-2-CBPR քիրալյային օժանդակ ռեակցիան) տվյալների դեպքում:
2. Մշակվել է կոռդրային ռադիկալում ալիքատիկ և արոմատիկ տեղակալիչներով տրիազոլային օղակ պարունակող 20 նոր օպտիկապես ակտիվ ոչ սպիտակուցային (*S*)- և (*R*)-ա-ամինարբուների կենսամիմետիկ ասիմետրիկ սինթեզի արդյունավետ մեթոդներ (*de* 80-96%): Սինթեզված նոր հետերոցիկլիկ տեղակալված ամինարբուների էնանտիոմերային մաքրությունը գերազանցում է 99%-ը:
3. Մշակվել է կոռդրային ռադիկալում ֆուրանային, բիոֆենային և այլ հետերոցիկլիկ օղակներով համակցված 1,2,4-տրիազոլային տեղակալիչ պարունակող 16 նոր (*S*)- և (*R*)-ա-ալանինների ասիմետրիկ կենսամիմետիկ սինթեզի մեթոդներ (*de* ~ 78-98%): Սինթեզված նմուշների էնանտիոմերային մաքրությունը գերազանցում է 99%-ը:
4. Մշակվել է կոռդրային ռադիկալում մորֆինային և պիրիդինային հետերոցիկլիկ օղակներ պարունակող (*R*)-ցիստեինների ասիմետրիկ կենսամիմետիկ սինթեզի մեթոդներ (*de* > 82%): Սինթեզվել են 4 նոր

հետերոցիլիկ տեղակալված α-ամինաթթուներ բարձր էնանտիոմերային մաքրությամբ ( $\alpha>99\%$ ):

5. Սշակվել է (S)- և (R)- $\beta$ -(6-ամին-1,3-դիմեթիլ-3,4-դիօքս-1,2,3,4-տետրահիդրոպայրիմիդին-5-իլ)-α-ալանինների ասիմետրիկ սինթեզի մեթոդ ( $d>80\%$ ): Մինթեզված նպատակային ամինաթթվի էնանտիոմերային մաքրությունը կազմում է 97%:
6. Հետազոտվել են (E,Z)-դեհիդրոամինակարագարբի քիրալային կոմպլեքսներին բիոփենային օրակով համակցված տեղակալված 1,2,4-տրիազոլի նուկլեոֆիլ միացման ռեակցիաները: Մշակվել է (2S,3S)- և (2R,3R)- $\beta$ -[3-(թիոֆեն-2-իլ)-4-ալիլ-5-դիօքս-1,2,4-տրիազոլ-1-իլ]-α-ամինակարագարբուների բարձրասելեկտիվությունը ( $d>94\%$ ) ասիմետրիկ կենսամիմետրիկ սինթեզի մեթոդ: Մինթեզված նպատակային ամինաթթվի էնանտիոմերային մաքրությունը գերազանցում է 98%:

Աշխատանքի շրջանակներում սինթեզվել են 44 նոր օպտիկապես ակտիվ հետերոցիլիկ տեղակալված ոչ սպիտակուցային (S)- և (R)-α-ամինաթթուներ և նրանց միջանկայալ մոդիֆիկացված և չմոդիֆիկացված 64 դիաստերեոմեր կոմպլեքսներ, որոնց կառուցվածքն ու բացարձակ կոնֆիգուրացիաները հետազոտվել և պարզաբանվել են ֆիզիկաքիմիական անալիզի ժամանակակից մեթոդներով ( $^1\text{H}$ - և  $^{13}\text{C}$ -ԱՄՌ, էլեմենտային անալիզ, քիրալային ԳՀՁ և ԲԱՀՁ անալիզ, պոլարիմետրիկ չափումներ և այլն):

### **Ատեմախոսության հիմնական արդյունքները տպագրված են հետևյալ աշխատանքներում**

1. Saghiyan A., **Simonyan H.**, Hakobyan K., Ghochikyan T. Asymmetric synthesis of  $\beta$ -heterocycle substituted (S)-  $\alpha$ -alanines // Book of Abstracts of the International Conference “State of the Art Biotechnology in Armenia & ISTC contribution”, Tsakhadzor, September 28 – October 02, **2008**, p. 130.
2. Сагиян А., **Симонян А.**, Акопян К., Товмасян А., Геолчанян А., Кочикян В. Асимметрический синтез гетероциклически замещенных  $\alpha$ -аминокислот (S)- $\beta$ -[4-аллил-3-(тиридин-3 или 4-ил)-5-тиоксо-1,2,4-триазол-1-ил]- $\alpha$ -аланинов // Хим. журн. Армении, 2009, т. 62, № 3-4, с. 362-368.
3. Сагиян А., Манасян Л., **Симонян А.**, Геолчанян А., Пароникян Е., Норавян А. Асимметрический синтез новых замещенных 6-морфолинотиридин-2-тиолсодержащих (R)-цистеинов // Хим. журн. Армении, 2011, т. 64, № 1, с. 40-46.
4. Сагиян А., **Симонян А.**, Петросян С., Акопян К., Хачатрян Л., Геолчанян А., Кочикян Т., Арутюнян В. Асимметрический синтез новых замещенных 1,2,4-триазолсодержащих производных (S)- $\alpha$ -аланина // Хим. журн. Армении, 2011, т. 64, №3, с. 352-360.
5. **Симонян А.** Высокоселективный асимметрический синтез (S)- $\beta$ -(3-(фуран-2-ил)-4-аллил-5-тио-1,2,4-триазол-1-ил)- $\alpha$ -аланина // Ученые записки ЕГУ, 2011, №3, с. 7-11.
6. Saghyan A., **Simonyan A.**, Stepanyan L., Ghazaryan S., Geolchanyan A., Manasyan L., Ghochikyan V., Ghochikyan T., Hovhannisyan N., Gevorgyan A.,

- Iaroshenko V., Langer P. *Asymmetric synthesis of new  $\beta$ -heterocyclic (*S*)- $\alpha$ -aminopropionic acids* // Tetrahedron: Asymmetry, 2012, v.23, p. 891-897.
7. Симонян А., Сагиан А., Манасян Л., Петросян С., Геолчанян А. *Асимметрический синтез 1,2,4-триазол содержащих производных (*S*)-аланина* // Всероссийская научная конференция (с международным участием): “Успехи синтеза и комплексообразования”. 23-27 Апреля 2012. Москва, с. 275.
8. Simonyan H., Saghyan A., Manasyan L., Petrosyan S., Geolchanyan A. *Asymmetric synthesis of new heterocyclic substituted (*S*)- $\alpha$ - amino acid* // Second International Conference of Young Chemists, April 21-23, 2012, Tbilisi, Georgia, p. 48.
9. Simonyan H., Saghyan A., Manasyan L., Petrosyan S., Geolchanyan A., Mkrtchyan G. *Asymmetric Synthesis of New Heterocyclic Substituted (*S*)- $\alpha$ -alanine and (*R*)-cystein* // 6th International conference “Chemistry of Nitrogen Containing Heterocycles”. November 12- 16, 2012, Kharkiv, Ukraine, P 47.

### *Симонян Айарти Манташовна*

Биомиметический асимметрический синтез новых гетероциклически замещенных небелковых  $\alpha$ -аминокислот

### РЕЗЮМЕ

**Ключевые слова:** небелковая аминокислота, асимметрический синтез, хиральный реагент, стереоселективность, нуклеофильное присоединение, гетероциклически замещенный,  $Ni^{II}$  плоско-квадратный комплекс

Диссертационная работа посвящается разработке эффективных методов биомиметического асимметрического синтеза ранее неописанных в литературе новых оптически активных гетероциклически замещенных (*S*)- и (*R*)- $\alpha$ -аминокислот с использованием, в качестве модельных систем пиридоксальфосфат зависимых ферментов, плоско-квадратных  $Ni^{II}$  комплексов основания Шиффа дегидроаминокислот с модифицированными и немодифицированными хиральными вспомогательными реагентами.

Была показана возможность высокостереоселективного асимметрического синтеза (*S*)- $\alpha$ -аминокислот с разными гетероциклическими заместителями в боковом радикале в случае использования комплексов дегидроаланина с модифицированным хиральным реагентом (*S*)-2-СВРВ. В результате были разработаны эффективные методы асимметрического синтеза новых

гетероциклически замещенных небелковых (*S*)- $\alpha$ -аминокислот (*de* 78-98%), в частности, синтезированы аналоги аланина и цистеина, содержащие в боковом радикале триазольные, фурановые, тиофеновые, пиридиновые, морфолиновые, пиримидиновые и др. гетероциклические заместители (*ee* >99%).

Аналогичным образом, с использованием в качестве исходного дегидроаминокислотного синтона Ni<sup>II</sup> комплексов основания Шиффа дегидроаланина с хиральными вспомогательными реагентами (*R*)-BPB и (*R*)-2-CBPB синтезированы вышеизложенные гетероциклически замещенные  $\alpha$ -аминокислоты (*R*)-абсолютной конфигурации.

Были исследованы также асимметрические присоединения тиофен содержащего замещенного 3-меркапто-1,2,4-триазола к C=C связи Ni<sup>II</sup> комплексов основания Шиффа (*Z,E*)-дегидроаминомасляной кислоты с хиральными вспомогательными реагентами (*S*)- и (*R*)-BPB и (*S*)- и (*R*)-2-CBPB. В результате разработаны высокоселективные методы (*de* 94-96%) асимметрического синтеза (*2S,3S*)- и (*2R,3R*)- $\beta$ -[3-(тиофен-2-ил)-4-аллил-5-тиоксо-1,2,4-триазол-1-ил]- $\alpha$  аминомасляных кислот (*ee* >99%).

Разработанные методы асимметрического синтеза позволяют с применением одного и того же исходного хирального дегидроаминокислотного синтона с высокой энантиомерной чистотой (*ee* >98%) получить широкий спектр оптически активных гетероциклически замещенных  $\alpha$ -аминокислот, как (*S*)-, так и (*R*)-абсолютных конфигураций. Исходные хиральные вспомогательные реагенты после каждого синтеза регенерируются с полным сохранением исходной оптической активности, что позволяет их использовать многократно в асимметрических реакциях синтеза аминокислот.

Итого, в работе синтезированы 44 новых энантиомерно чистых гетероциклически замещенных (*S*)- и (*R*)- $\alpha$ -аминокислот, а также их 64 промежуточных модифицированных и немодифицированных диастереомерно чистых комплексов, структура и абсолютная конфигурация которых исследованы и установлены современными физико-химическими методами анализа (<sup>1</sup>H- и <sup>13</sup>C-ЯМР, элементный анализ, хиральные ГЖХ и ВЭЖХ анализы, поляриметрические измерения и т.д.)

В дальнейшем разработанные методы могут быть внедрены на малотоннажной опытно-производственной установке НПЦ «Армбиотехнология» ГНКО НАН РА, а синтезированные новые оптически активные гетероциклически замещенные  $\alpha$ -аминокислоты могут найти применение в производстве физиологически активных пептидов и других лекарственных препаратов.

Работа проделана в лаборатории асимметрического синтеза кафедры фармацевтической химии ЕГУ.

Основные положения диссертации изложены в 5 научных статьях и в 4 тезисах международных конференций.

**Simonyan Hayarpi M.**

**Biomimetic asymmetric synthesis of new heterocycle  
substituted non-proteinogenic  $\alpha$ -amino acids**

**SUMMARY**

*Keywords:* *non-proteinogenic amino acid, asymmetric synthesis, chiral auxiliary, stereoselectivity, nucleophilic addition, heterocycle substituted, square-planar Ni<sup>II</sup> complex*

The thesis is devoted to the development of efficient methods for the biomimetic asymmetric synthesis of novel, earlier not described in literature optically active heterocyclic-substituted (*S*)- and (*R*)- $\alpha$ -amino acids with the use of square-planar Ni<sup>II</sup> complexes of Schiff's bases of dehydroamino acids with modified and unmodified chiral auxiliaries as model systems of pyridoxalphosphate-dependent enzymes.

The possibility of highly selective asymmetric synthesis of substituted (*S*)- $\alpha$ -amino acids with different heterocyclic substituents in the side-chain radical with the use of Ni<sup>II</sup> complexes of dehydroalanine (*S*)-2-CBPB was shown. As a result efficient methods for the asymmetric synthesis of novel heterocycle substituted non-proteinogenic (*S*)- $\alpha$ -amino acids (*de* 78-98%), in particular, analogs of alanine and cysteine with triazole, furan, thiophene, morpholine, pyridine, pyrimidine heterocyclic substituents in the side-chain radical were developed (*ee* > 99%).

Similarly, above mentioned heterocyclic substituted  $\alpha$ -amino acids with (*R*)-absolute configuration were synthesized, using Ni<sup>II</sup> complexes of Schiff's base of dehydroalanine with chiral auxiliaries (*R*)-BPB and (*R*)-2-CBPB as initial dehydroamino acid synthons.

Asymmetric addition of thiophene containing 3-mercaptop-1,2,4-triazole to C=C bond of Ni<sup>II</sup> complexes of Schiff's bases of (*Z,E*)-dehydroaminobutyric acid with chiral auxiliaries (*S*)- and (*R*)-BPB and (*S*)- and (*R*)-2-CBPB were studied as well. As a result highly selective methods (*de* 94-96%) of asymmetric synthesis of (*2S,3S*)- and (*2R,3R*)- $\beta$ -[3-(thiophene-2-yl)-4-allyl-5-thioxo-1,2,4-triazole-1-yl]- $\alpha$ -aminobutyric acids (*ee* >99%) were developed.

The developed methods for the asymmetric synthesis ((*S*)- and (*R*)-absolute configuration) allow to obtain a wide spectrum of optically active heterocyclic substituted  $\alpha$ -amino acids with high enantiomeric purity using the same initial chiral dehydroamino acid synthons. The initial chiral auxiliaries were regenerated after each synthesis with complete retention of the initial optical purity that ensures their multiple use in the asymmetric syntheses of amino acids.

Thus, 44 new enantiomerically pure heterocyclic substituted (*S*)- and (*R*)- $\alpha$ -amino acids and their 64 modified and unmodified diastereomerically pure complexes were synthesized. Their structure and absolute configuration were investigated and determined by modern physicochemical analyses (<sup>1</sup>H- and <sup>13</sup>C-NMR, elemental analysis, chiral GLC and HPLC, polarimetric measurements, etc.).

Later on the elaborated methods will be introduced to the technological lines of small-scale production of optically active non-protein amino acids of the Scientific and Production Center "Armbiotechnology" NAS RA. Synthesized novel heterocycle substituted  $\alpha$ -amino acids will find their application in the production of physiologically active peptides and other medicinal preparations.

The work has been carried out in the research laboratory of asymmetric synthesis of the Chair of Pharmaceutical Chemistry of Yerevan State University.

5 Articles and 4 abstracts have been published on the subject of the thesis.